

А.П.Ростов, О.А.Рубцова

ТРАНСФОРМАЦИЯ ЗАКОНА РАСПРЕДЕЛЕНИЯ ФЛУКТУАЦИЙ ИНТЕНСИВНОСТИ ЛАЗЕРНОГО ИЗЛУЧЕНИЯ ПРИ ИЗМЕНЕНИИ ПАРАМЕТРОВ РЕШЕТКИ УГОЛКОВЫХ ОТРАЖАТЕЛЕЙ

Институт оптики атмосферы СО РАН, Томск

Поступила в редакцию 28.12.98 г.

Принята к печати 10.02.99 г.

Экспериментально исследуется трансформация распределения вероятностей флуктуаций интенсивности сферической волны, отраженной от решетки уголков. Показано, что с увеличением расстояния между уголками плотность вероятностей стремится к логарифмически нормальному распределению.

В настоящее время основные характеристики оптического излучения в турбулентной среде достаточно хорошо изучены, в том числе и в области сильных флуктуаций интенсивности, которая характеризуется насыщением относительной дисперсии флуктуаций. Вместе с тем вопрос о виде функции распределения флуктуаций интенсивности в условиях насыщения, когда основную роль играют эффекты многократного рассеяния, остается открытым, несмотря на то, что этой проблеме был посвящен ряд работ [1–3], где предлагались различные модели для плотности распределения насыщенных флуктуаций интенсивности.

Принято считать, что в области насыщения рассеянное поле является гауссовым и распределение вероятностей флуктуаций интенсивности приближается к экспоненциальному:

$$P(I) = \langle I \rangle^{-1} \exp(-I/\langle I \rangle). \quad (1)$$

Вывод о применимости экспоненциального распределения был сделан и на основе асимптотического анализа поведения нормированных моментов интенсивности [4]:

$$\langle I^n \rangle / \langle I \rangle^n = n! [1 + 0,21 \beta_0^{-4/5} n(n-1)]. \quad (2)$$

Здесь $\beta_0^2 = 1,23 C_n^2 k^{7/6} L^{11/6}$ – параметр, характеризующий условия распространения на трассе (C_n^2 – структурная характеристика показателя преломления; $k = 2\pi/\lambda$ – волновое число; L – длина трассы). В предельном случае ($\beta_0 \rightarrow \infty$) выражение (2) приводит к соотношению для моментов, которое соответствует экспоненциальному распределению. Однако в эксперименте экспоненциальное распределение не было получено, напротив, экспериментальные измерения [5] для значений $\beta_0 \geq 25$ дают распределение, близкое к логарифмически нормальному:

$$P(I) = (\sqrt{2\pi\sigma})^{-1} \exp[-(1/2\sigma^2)(\ln I - \xi)^2]; \quad (3)$$

$$\sigma^2 = \ln(1 + \beta^2), \quad \xi = \ln[\langle I \rangle / (1 + \beta^2)^{1/2}],$$

где $\beta^2 = (\langle I^2 \rangle - \langle I \rangle^2) / \langle I \rangle^2$ – относительная дисперсия флуктуаций интенсивности.

Отклонение от гауссовых статистик рассеянного поля объяснялось тем [1, 3], что его компоненты оказываются

частично коррелированными за счет крупных неоднородностей. Предложенное в качестве модели для негауссовых статистик рассеянного поля K -распределение [2]:

$$\langle I \rangle P(I) = (2/\Gamma(y)) y^{(y+1)/2} I^{(y-1)/2} K_{y-1}[2(Iy)^{1/2}]; \quad (4)$$

$$y = 2/(\beta^2 - 1), \quad y > 0,$$

исследовалось нами ранее [6, 7], и наши экспериментальные данные подтвердили возможность использования этого распределения для описания плотности вероятности флуктуаций интенсивности в следующих ситуациях: 1) при прямом распространении в условиях сильных флуктуаций, 2) при отражении от матрицы уголковых отражателей. K -распределение асимптотически стремится к экспоненциальному при увеличении параметра β_0 .

В настоящей статье мы попытались проследить эволюцию экспериментальных гистограмм от K -распределения к экспоненциальному либо к какому-то иному предельному распределению. Рассуждения были следующими. При многолучевом режиме распространения волны в одну точку пространства попадает уже не один, а несколько лучей, имеющих различные начальные координаты. Если число таких независимых каналов распространения достаточно велико (≥ 12), то рассеянное поле будет удовлетворять гауссовым статистикам. В том случае, когда освещенная область сравнима или меньше пространственной корреляции флуктуаций поля, среднее число независимых каналов распространения невелико и статистики рассеянного поля не будут гауссовыми, а плотность вероятностей в нашем случае приближается к K -распределению.

Это объясняет и негауссовы статистики, полученные нами при отражении сферической волны от матрицы уголковых отражателей [6]. Поле направленной сферической волны при отражении от матрицы уголковых отражателей является суперпозицией парциальных волн, пришедших от отдельных уголков. Несмотря на то, что число уголков в эксперименте было достаточно велико (12), на расстоянии порядка размера матрицы еще имеет место корреляция флуктуаций поля и поэтому среднее число независимых каналов распространения, дающих вклад в принимаемое поле, будет меньше числа уголков. Мы попытались получить предельное распределение, разведя элементы матри-

цы на расстояние, превышающее радиус корреляции поля волны, чтобы лучи, пришедшие от отдельных уголков, могли считаться независимыми.

Измерения проводились в августе–сентябре 1998 г., в полуденное или близкое к нему время суток, на горизонтальной трассе над ровной подстилающей поверхностью. Излучение He–Ne-лазера ($\lambda = 0,63$ мкм) через диафрагму диаметром 1 мм направлялось на отражатель, который был установлен на расстоянии 1000 м от источника. В качестве отражателя использовалась двумерная решетка из 13 призмных уголков (рис. 1), диаметр одного уголка 26 мм. Расстояние между центрами уголковых отражателей Δ изменялось от 26 (матрица) до 208 мм при максимальном разведении. Отраженное излучение принималось фотоприемником ФЭУ-79 с диаметром входной диафрагмы 0,3 мм на расстоянии 5 мм от оптической оси волны.

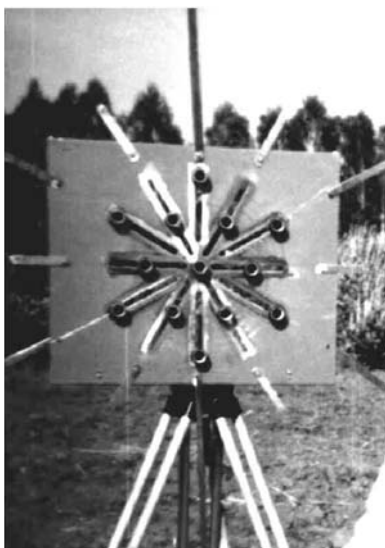


Рис. 1. Решетка уголковых отражателей

Электрический сигнал с выходного усилителя ФЭУ поступал на один из каналов аппаратно-программного комплекса цифровой регистрации, специально разработанного для этого эксперимента. После низкочастотной

фильтрации батервортовским фильтром нижних частот 8-го порядка (частота среза 1 кГц с ослаблением 56 дБ на октаву) он преобразовывался в цифровую форму 12-разрядным аналого-цифровым преобразователем, имеющим точность и линейность, равные половине младшего разряда. Далее сигнал уже в виде цифрового потока данных записывался в оперативную память компьютера специально разработанной для этого эксперимента программой реального времени, написанной на языке ассемблера для получения максимального быстродействия и точности периода дискретизации. По окончании реализации полученный массив данных размером чуть более 9 Мбайт переписывался из оперативной памяти на жесткий диск компьютера. При таком методе регистрации вероятность ошибки аппаратуры регистрации была сведена к нулю в отличие от предыдущего комплекса, где она составляла 10^{-6} .

Регистрация сигналов осуществлялась с частотой дискретизации 5 кГц в течение 5 мин. До и после каждой реализации лазерный пучок перекрывался и измерялась фоновая засветка, а затем линейный тренд вычитался из записанной реализации. Кроме того, была проведена запись сигнала с ФЭУ при отсутствии отражателя. При последующей обработке шум ФЭУ исключался с помощью свертки гистограммы флуктуаций интенсивности с гистограммой шума ФЭУ, чтобы получить более достоверные значения вероятности в области глубоких замираний:

$$I = I_s - I_n ;$$

$$f(I) = \int_{-\infty}^{\infty} f_s(I_s) f_n(I_s - I) dI_s ,$$

где I_s – регистрируемый сигнал, I_n – шум ФЭУ.

Контроль турбулентного состояния атмосферы осуществлялся по флуктуациям интенсивности на трассе длиной 100 м. Дополнительный контроль стационарности турбулентности осуществлялся с помощью ультразвукового анемометра-термометра, расположенного на расстоянии 50 м от измерительного павильона.

Всего было проведено 17 серий измерений по 3–4 реализации с различным положением уголков. Значения параметра $\beta_0(L)$ находились в диапазоне от 1 до 7.

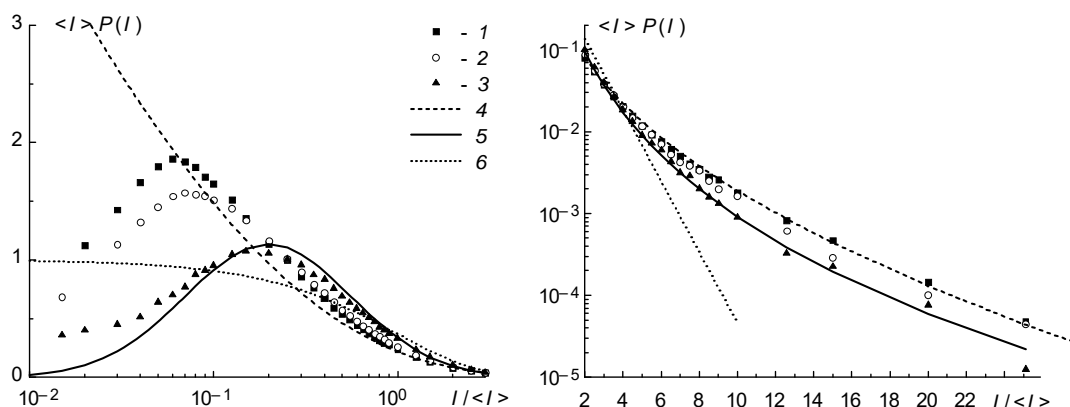


Рис. 2. Гистограммы нормированных значений интенсивности для $\beta_0(L) = 1$: 1 – $\Delta = 26$ мм; 2 – 36 мм; 3 – 208 мм; 4 – K-распределение, соответствующее гистограмме 1; 5 – логарифмически нормальное распределение, соответствующее гистограмме 3; 6 – экспоненциальное распределение

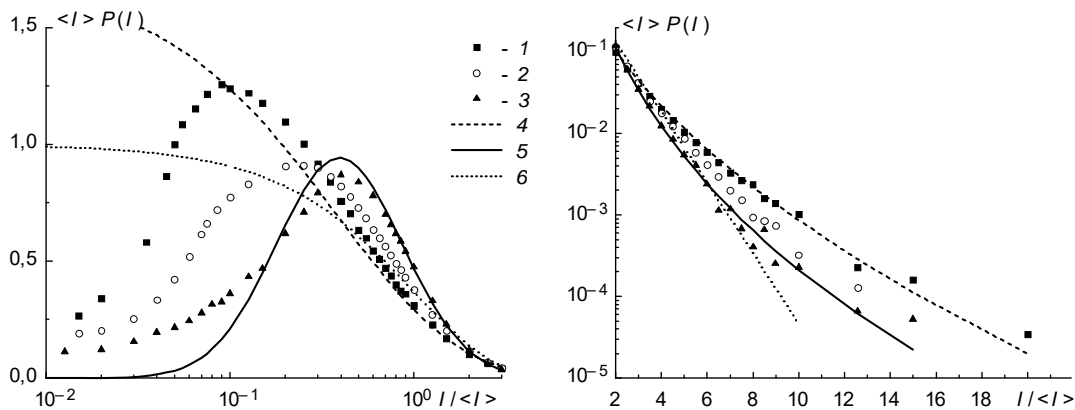


Рис. 3. Гистограммы нормированных значений интенсивности для $\beta_0(L)=7$: 1 – $\Delta=26$ мм; 2 – 36 мм; 3 – 120 мм; 4 – K -распределение, соответствующее гистограмме 1; 5 – логарифмически нормальное распределение, соответствующее гистограмме 3; 6 – экспоненциальное распределение

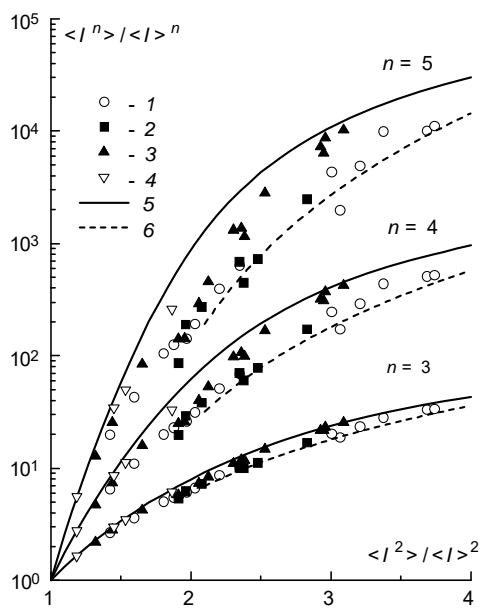


Рис. 4. Нормированные моменты интенсивности 3, 4 и 5-го порядков: 1 – $\Delta=26$ мм; 2 – 36 мм; 3 – 120 мм; 4 – 208 мм; 5 – моменты логарифмически нормального распределения; 6 – моменты K -распределения

На рис. 2, 3 приведены характерные гистограммы мгновенных значений интенсивности для различных значений Δ в разных турбулентных условиях: а) область малых и промежуточных значений интенсивности, б) область больших значений интенсивности. Здесь же для сравнения нанесены модельные плотности вероятностей (1), (3), (4). Как видно из представленных данных, при значениях $\Delta=26$ мм гистограмма хорошо аппроксимируется K -распределением для $I/\langle I \rangle$, превышающих значение моды. Для $I/\langle I \rangle$ меньшей моды расхождение довольно заметное, однако эта область глубоких замираний не оказывает существенного влияния на значения высших моментов. Если же такие детали, как ста-

тистика глубоких замираний и положение моды распределения, не представляют особого интереса, то K -распределение можно принять в качестве модели для случая малых Δ . С увеличением Δ гистограмма трансформируется к более симметричному виду и при максимальном $\Delta=208$ мм для $\beta_0(L)=1$, $\Delta=120$ мм для $\beta_0(L)=7$ логарифмически нормальное распределение лучше согласуется с экспериментальными данными, чем экспоненциальное.

Последнее следует и из зависимости высших нормированных моментов от второго нормированного момента интенсивности (рис. 4). Здесь также приведены кривые, соответствующие моментам распределений (3) и (4), вычисленных с учетом смещения за счет ограниченности динамического диапазона для условий эксперимента ($I_{\max}=4095$, $\langle I \rangle=75$) [8,9]. Экспериментальные моменты с увеличением Δ отклоняются от моментов K -распределения и приближаются к логарифмически нормальной зависимости.

Таким образом, эксперимент показал, что при увеличении числа независимых каналов распространения плотность вероятностей флуктуаций интенсивностей лазерного излучения в турбулентной атмосфере не приближается, как предполагалось, к экспоненциальному, а стремится к логарифмически нормальному распределению.

1. Гочелашвили К.С., Шишов В.И. // ЖЭТФ. 1978. Т. 74. Вып. 6. С. 1974.
2. Jakeman E. // J. Phys. A: Math. Gen. 1980. V. 13. P. 31.
3. Churnside J.H., Hill R.J. // J. Opt. Soc. Am. A. 1987. V. 4. N 4. P. 727.
4. Якушкин И.Г. // Изв. вузов СССР. Радиофизика. 1978. Т. 21. N 8. С. 1194.
5. Гурвич А.С., Кон А.И., Миронов В.Л., Хмелевцов С.С. Лазерное излучение в турбулентной атмосфере. М.: Наука, 1976. 277 с.
6. Патрушев Г.Я., Петров А.И., Рубцова О.А. // Оптика атмосферы. 1989. Т. 2. N 3. С. 277.
7. Патрушев Г.Я., Ростов А.П., Рубцова О.А. // Оптика атмосферы и океана. 1995. Т. 8. N 6. С. 819.
8. Патрушев Г.Я., Печеркина Т.П., Ростов А.П. // Автометрия. 1985. N 3. С. 22.
9. Consortini A., Hill R.J. // Optics Lett. 1987. V. 12. N 5. P. 304.

A.P. Rostov, O.A. Rubtsova. Transformation of Distribution Law at Fluctuations of Laser Radiation Intensity on Variation of Parameters of Angle Reflectors Grating.

Transformation of probabilities distribution of intensity fluctuations of a spherical wave reflected from a grating of angles is investigated experimentally. It is shown, that with increase of distance between angles the probability's density approaches to log-normal distribution.